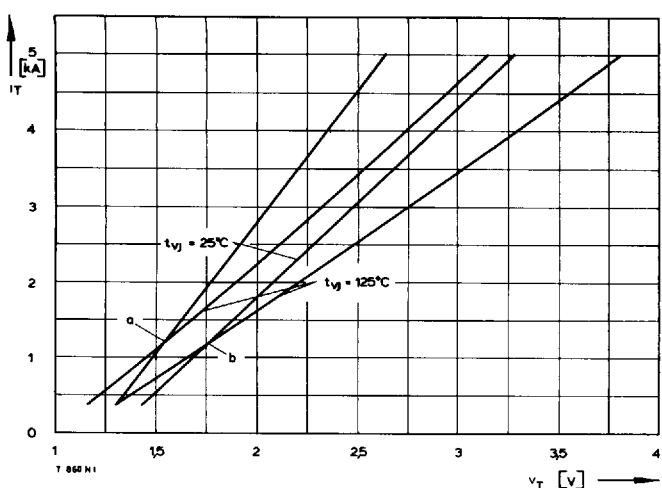


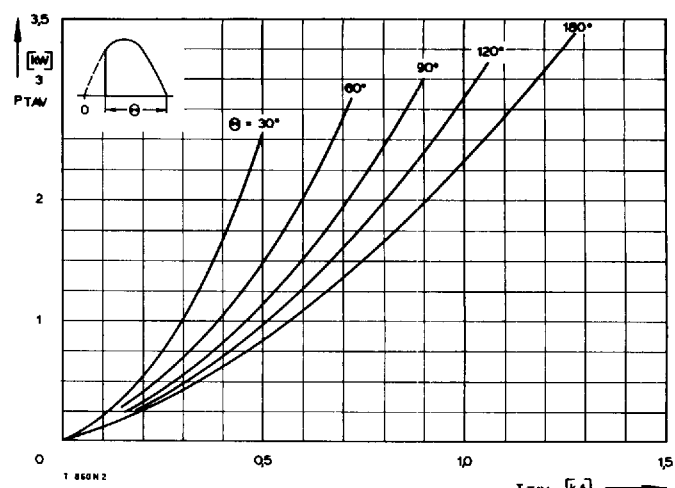
Typenreihe/Type range	T 860 N/T 869 N	3000	3200	3400	3600
<b>Elektrische Eigenschaften</b>	<b>Electrical properties</b>				
<b>Höchstzulässige Werte</b>	<b>Maximum permissible values</b>				
$V_{DRM}$ , $V_{RRM}$	Periodische Vorwärts- und Rückwärts-Spitzenperrspannung	repetitive peak forward off-state and reverse voltages		3000...3600	V
$I_{TRMSM}$	Effektiver Durchlaßstrom	RMS on-state current		2000	A
$I_{TAVM}$	Dauergrenzstrom	average on-state current	$t_C = 85^\circ\text{C}$	860	A
			$t_C = 53^\circ\text{C}$	1275	A
$I_{TRM}$	Periodischer Spitzenstrom	repetitive peak on-state current		12	kA
$I_{TSM}$	Stoßstrom-Grenzwert	surge current	$t_p = 10 \text{ ms}, t_{vj} \leq 45^\circ\text{C}$	18	kA
			$t_p = 10 \text{ ms}, t_{vj} = t_{vj \max}$	17	kA
$\int i^2 dt$	Grenzlastintegral	$\int i^2 dt$ -value	$t_p = 10 \text{ ms}, t_{vj} \leq 45^\circ\text{C}$	$1,62 \cdot 10^6$	A <sup>2</sup> s
			$t_p = 10 \text{ ms}, t_{vj} = t_{vj \max}$	$1,445 \cdot 10^6$	A <sup>2</sup> s
$(di/dt)_{cr}$	Kritische Stromsteilheit	critical rate of rise of on-state current	Dauerbetrieb/continuous operation, $i_{TM} = 3,8 \text{ kA}$ , $v_L = 10 \text{ V}$ , $i_G = 1 \text{ A}$ , $di_G/dt = 1 \text{ A}/\mu\text{s}$	80	A/ $\mu\text{s}$
$(dv/dt)_{cr}$	Kritische Spannungssteilheit	critical rate of rise of off-state voltage	$v_D = 67\% V_{DRM}$ , $t_{vj} = t_{vj \max}$	5. Kennbuchstabe/5th letter C	400 V/ $\mu\text{s}$
			5. Kennbuchstabe/5th letter F	1000	V/ $\mu\text{s}$
<b>Charakteristische Werte</b>	<b>Characteristic values</b>				
$V_T$	Obere Durchlaßspannung	max. on-state voltage	$t_{vj} = 25^\circ\text{C}, i_T = 3,8 \text{ kA}$	2,8	V
$V_{(TO)}$	Schleusenspannung	threshold voltage	$t_{vj} = t_{vj \max}$	1,08	V
$r_T$	Ersatzwiderstand	slope resistance	$t_{vj} = t_{vj \max}$	0,5	mΩ
$V_{GT}$	Obere Zündspannung	max. gate trigger voltage	$t_{vj} = 25^\circ\text{C}, v_D = 6 \text{ V}, R_A = 2 \Omega$	2	V
$I_{GT}$	Oberer Zündstrom	max. gate trigger current	$t_{vj} = 25^\circ\text{C}, v_D = 6 \text{ V}, R_A = 2 \Omega$	250	mA
	Unterer Zündstrom	min. gate trigger current	$t_{vj} = t_{vj \max}, v_D = 6 \text{ V}, R_A = 2 \Omega$	10	mA
$I_H$	Oberer Haltestrom	max. holding current	$t_{vj} = 25^\circ\text{C}, v_D = 6 \text{ V}, R_A = 2 \Omega$	500	mA
$I_L$	Oberer Einraststrom	max. latching current	$t_{vj} = 25^\circ\text{C}, v_D = 6 \text{ V}, R_{OK} \geq 10 \Omega$	2,5	A
$i_D, i_R$	Oberer Vorwärts- und Rückwärts-Sperrstrom	max. forward off-state and reverse currents	$i_G = 1 \text{ A}, di_G/dt = 1 \text{ A}/\mu\text{s}, t_g = 20 \mu\text{s}$	250	mA
$t_{gd}$	Oberer Zündverzug	max. gate controlled delay time	$t_{vj} = t_{vj \max}, v_D = V_{DRM} (V_R = V_{RRM})$	5	μs
$t_q$	Typische Freiwerdezeit	typical turn-off time	$i_G = 1 \text{ A}, di_G/dt = 1 \text{ A}/\mu\text{s}$	400	μs
$C_{null}$	Typische Nullkapazität	typical zero capacitance	Prüfbedingungen/test conditions 3.4.3.4	11	nF
			$t_{vj} = 25^\circ\text{C}, f = 10 \text{ kHz}$		
<b>Thermische Eigenschaften</b>	<b>Thermal properties</b>				
$R_{thJC}$	Innerer Wärmewiderstand für beidseitige Kühlung	thermal resistance, junction to case for two-sided cooling	$\Theta = 180^\circ\text{el}, \sinus$	$\leq 0,0215^\circ\text{C}/\text{W}$	
			DC	$\leq 0,02^\circ\text{C}/\text{W}$	
$R_{thJC(A)}$	für anodenseitige Kühlung	for anode-sided cooling	$\Theta = 180^\circ\text{el}, \sinus$	$\leq 0,0365^\circ\text{C}/\text{W}$	
			DC	$\leq 0,035^\circ\text{C}/\text{W}$	
$R_{thJC(K)}$	für kathodenseitige Kühlung	for cathode-sided cooling	$\Theta = 180^\circ\text{el}, \sinus$	$\leq 0,0485^\circ\text{C}/\text{W}$	
			DC	$\leq 0,047^\circ\text{C}/\text{W}$	
$R_{thCK}$	Wärmewiderstand für einen Übergang zwischen Gehäuse und Kühlkörper	single sided thermal resistance, case to heatsink		0,008 °C/W	
$t_{vj \max}$	Höchstzul. Sperrsichttemperatur	max. junction temperature		125°C	
$t_{vj op}$	Betriebstemperatur	operating temperature		$-40^\circ\text{C} \dots +125^\circ\text{C}$	
$t_{stg}$	Lagertemperatur	storage temperature		$-40^\circ\text{C} \dots +150^\circ\text{C}$	
<b>Mechanische Eigenschaften</b>	<b>Mechanical properties</b>				
$G$	Gewicht T 860 N/T 869 N	weight T 860 N/T 869 N		600 g/540 g	
$F$	Anpreßkraft	clamping force		20...30 kN	
	Maßbilder T 860 N/T 869 N	outlines T 860 N/T 869 N	DIN 41814-155 B 4	Seite/page 241	
	Kriechstrecke T 860 N/T 869 N	creepage distance T 860 N/T 869 N		25 mm/32 mm	
	Feuchtekategorie	humidity classification	DIN 40040	C	
	Schüttelfestigkeit	vibration resistance	$f = 50 \text{ Hz}$	5x9,81 m/s <sup>2</sup>	

T-25-20



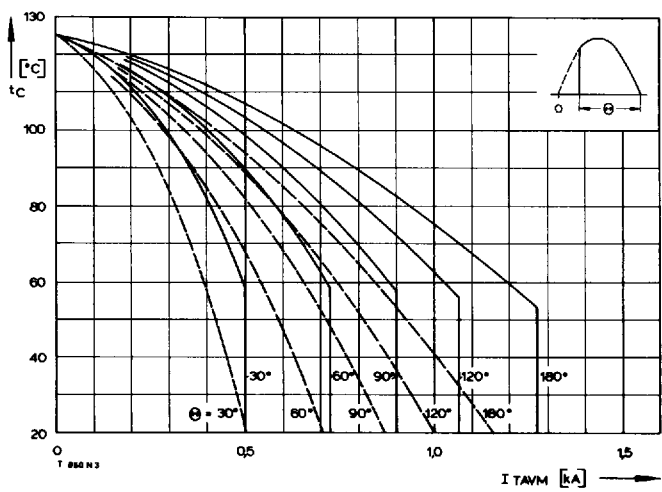
Bild/Fig. 1

Durchlaßkennlinien/On-state characteristics  
 a – Typische Kennlinien/typical characteristics  
 b – Grenzkennlinien/limiting characteristics



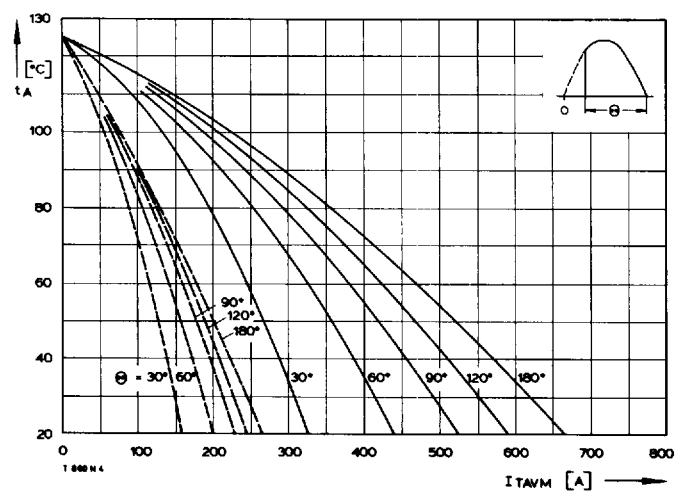
Bild/Fig. 2

Durchlaßverlustleistung  $P_T$ /On-state power loss  $P_T$   
 Parameter: Stromflußwinkel  $\Theta$ /current conduction angle  $\Theta$



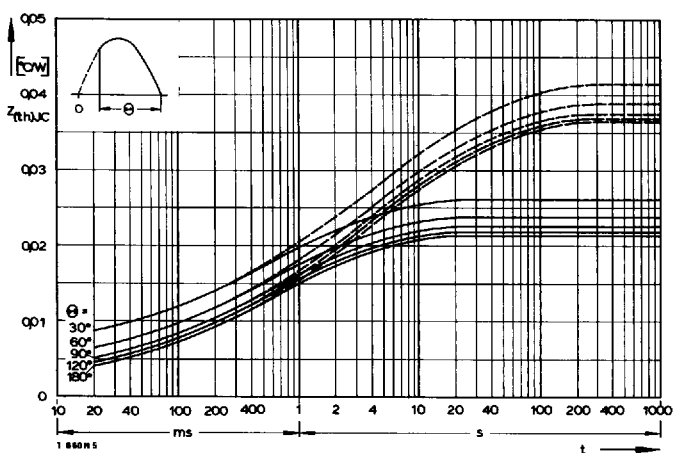
Bild/Fig. 3

Höchstzulässige Gehäusetemperatur  $t_C$   
 Maximum allowable case temperature  $t_C$   
 - - - - anodenseitige Kühlung/anode sided cooling  
 ————— beidseitige Kühlung/two-sided cooling



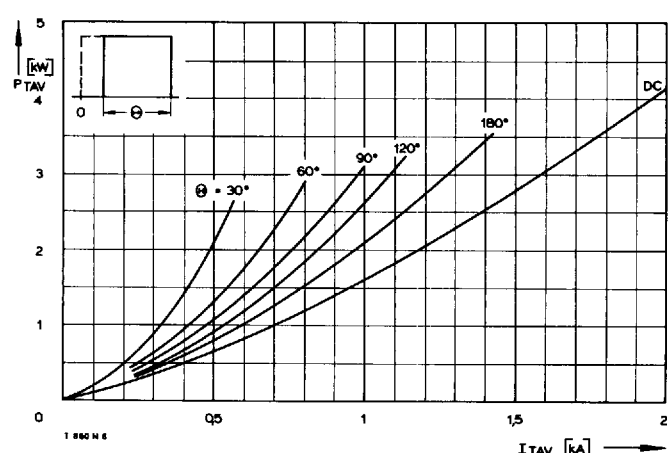
Bild/Fig. 4

Höchstzulässige Kühlmitteltemperatur  $t_A$  bei Betrieb auf Kühlkörper K0,05 F.  
 Maximum allowable cooling medium temperature  $t_A$ , heatsink type K0.05 F.  
 - - - - Luftselbstkühlung/natural cooling  
 ————— verstärkte Luftkühlung/forced cooling,  $V_L = 120 \text{ l/s}$



Bild/Fig. 5

Transienter innerer Wärmewiderstand  $Z_{thJC}$   
 Transient thermal impedance, junction to case,  $Z_{thJC}$ , at two-sided cooling  
 - - - - anodenseitige Kühlung/anode sided cooling  
 ————— beidseitige Kühlung/two-sided cooling

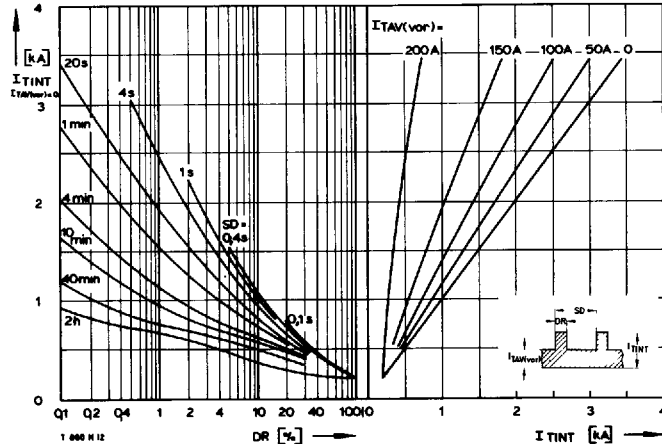
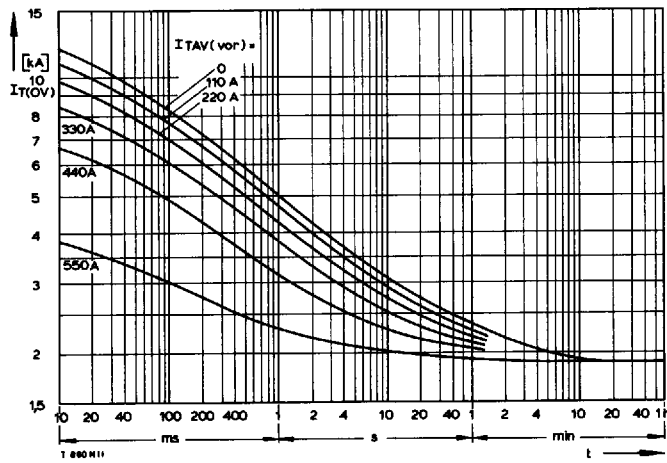
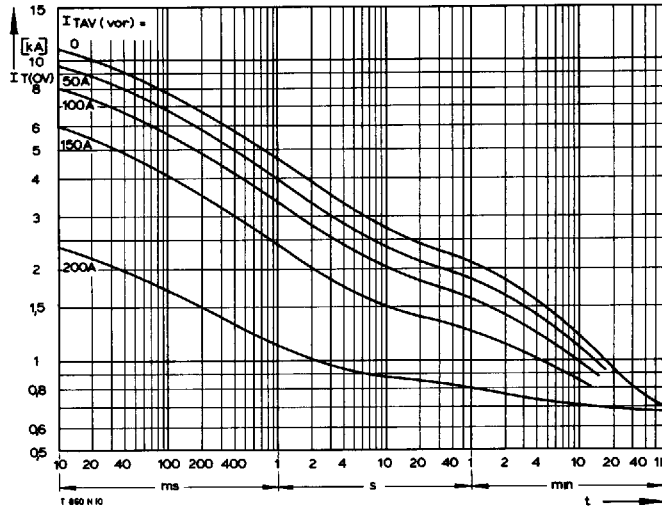
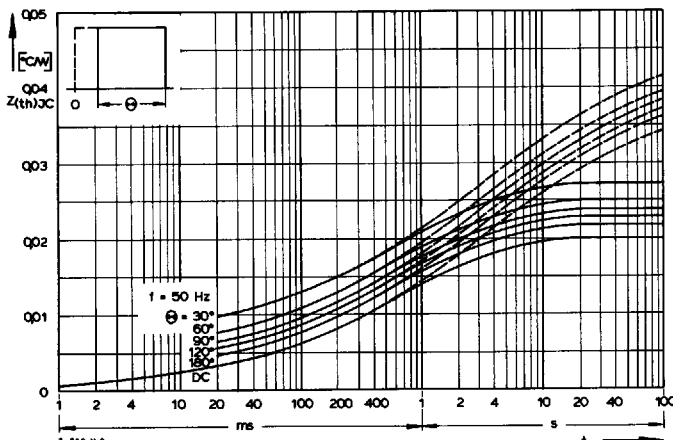
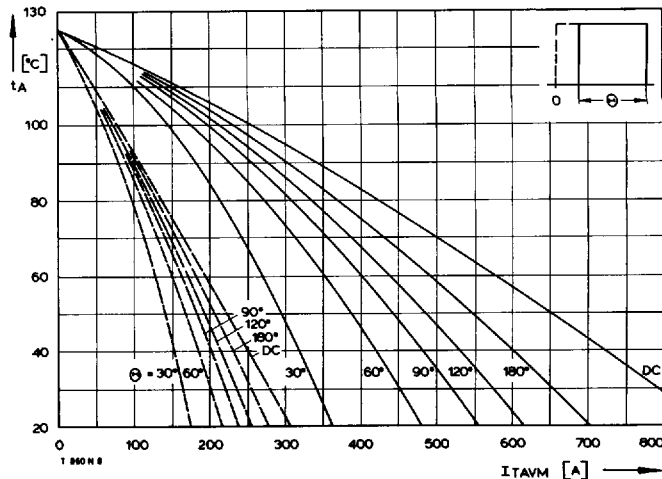
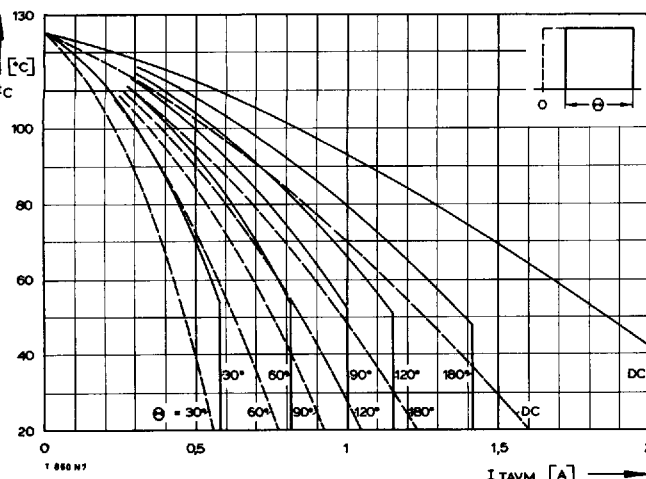


Bild/Fig. 6

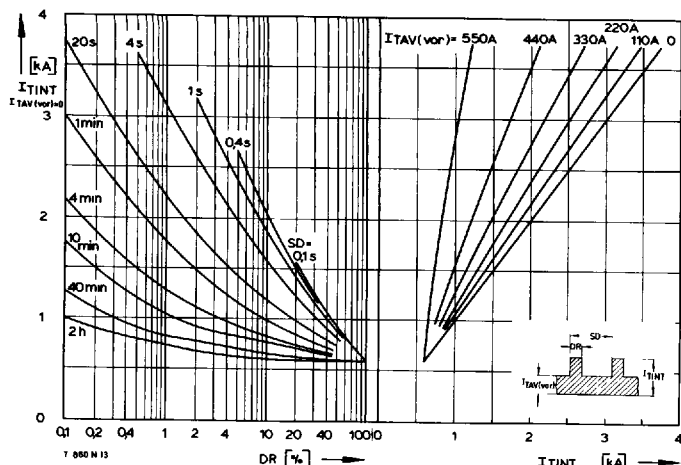
Durchlaßverlustleistung  $P_T$ /On-state power loss  $P_T$   
 Parameter: Stromflußwinkel  $\Theta$ /current conduction angle  $\Theta$

**T 860 N T 869 N**

T-25-20

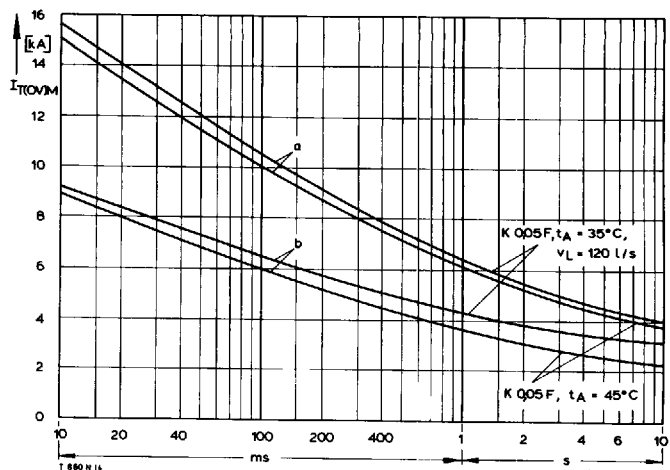


T-25-20



Bild/Fig. 13

Höchstzulässiger Durchlaßstrom  $I_{TAV(INT)}$  bei Aussetzbetrieb und verstärkter Luftkühlung,  $t_A = 35^\circ\text{C}$ , Kühlkörper K0,05 F,  $V_L = 120 \text{ l/s}$ .  
Limiting on-state current  $I_{TAV(INT)}$  during intermittent operation at forced cooling,  
 $t_A = 35^\circ\text{C}$ , heatsink type K0.05 F,  $V_L = 120 \text{ l/s}$ .  
Parameter: Spieldauer/cycle duration SD  
Vorlaststrom/pre-load current  $I_{TAV(vor)}$

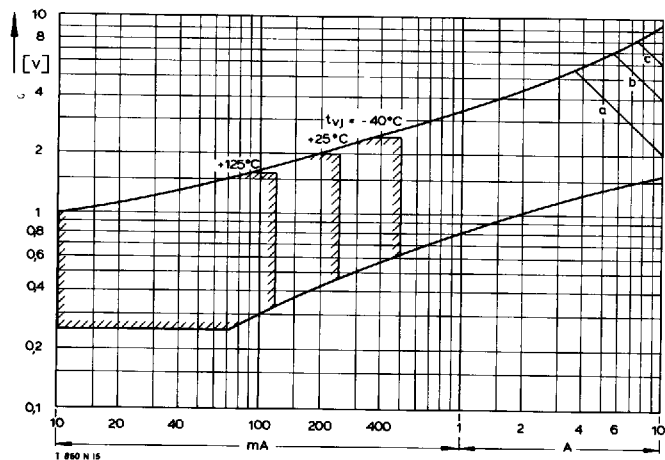


Bild/Fig. 14

Grenzstrom  $I_{T(OVM)}$  bei Luftseltkühlung und verstärkter Luftkühlung,  
Kühlkörper K0,05 F,  $U_{RM} = 0,8 U_{RPM}$ .

Limiting overheat on-state current  $I_{T(OVM)}$  at natural and forced cooling,  
heatsink type K0.05 F,  $U_{RM} = 0.8 U_{RPM}$ .

- a – Belastung aus Leerlauf/current surge under no-load conditions
- b – Belastung im Anschluß an Betrieb mit Dauergrenzstrom  $I_{TAVM}$ /current surge occurs during operation at limiting mean on-state current rating  $I_{TAVM}$

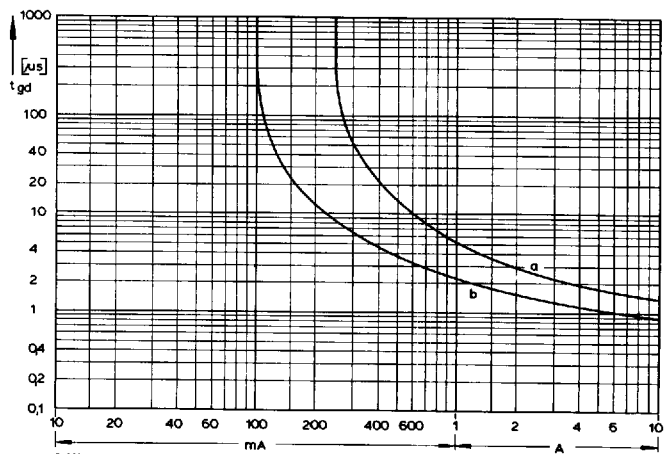


Bild/Fig. 15

Zündbereich und Spitzensteuerleistung bei  $V_D \geq 6 \text{ V}$ .

Gate characteristic and peak gate power dissipation at  $V_D \geq 6 \text{ V}$ .

Parameter:	a	b	c
Steuerimpulsdauer/Pulse duration $t_g$ [ms]	10	1	0,5
Höchstzulässige Spitzensteuerleistung/ Maximum allowable peak gate power [W]	20	40	60

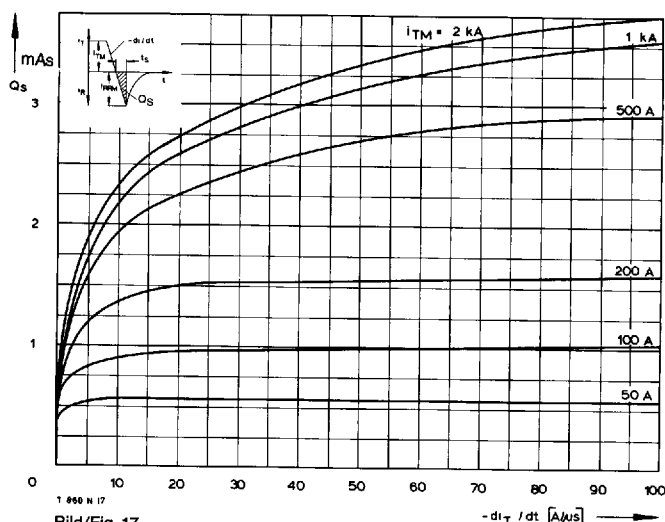


Bild/Fig. 16

Zündverzug  $t_{gd}$  nach DIN 41787 bei  $t_V = 25^\circ\text{C}$ ,  $t_g = 1 \mu\text{s}$ .

Gate controlled delay time  $t_{gd}$  to DIN 41787 at  $t_V = 25^\circ\text{C}$ ,  $t_g = 1 \mu\text{s}$ .

- a – äußerster Verlauf/limiting characteristic
- b – typischer Verlauf/typical characteristic



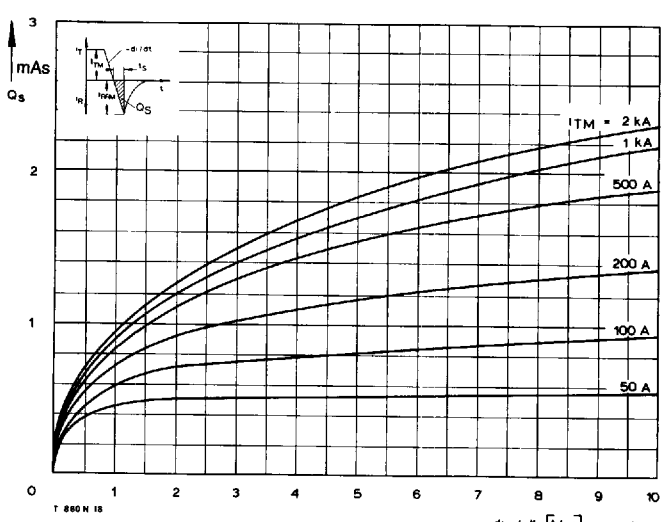
Bild/Fig. 17

Nachlaufladung  $Q_S$  in Abhängigkeit von der abkommittierenden Stromteilheit  
 $-di/dt$  bei  $t_V = 125^\circ\text{C}$ .

Der angegebene Verlauf wird von 90% aller Thyristoren nicht überschritten.

Lag charge  $Q_S$  versus the rate of decay of forward on-state current

$-di/dt$  at  $t_V = 125^\circ\text{C}$ . – These curves are valid for 90% of all thyristors.



Bild/Fig. 18

Ausschnitt aus Bild 17/Detail of fig. 17.